# 皮膚へのミリ波集束ビームばく 露における温度上昇および 温熱知覚

2018.4.20 東京工業大学工学院 西方敦博

## 背景

#### ミリ波の利用拡大(ミリ波通信、ミリ波レーダ等)

ミリ波の利用拡大で公衆の ミリ波ばく露機会が増大するため 人体の安全性の確保が重要



電波防護指針に従う

#### 課題

電波防護指針の ミリ波における根拠データの さらなる蓄積

香西らの実験(60GHz, 2010)

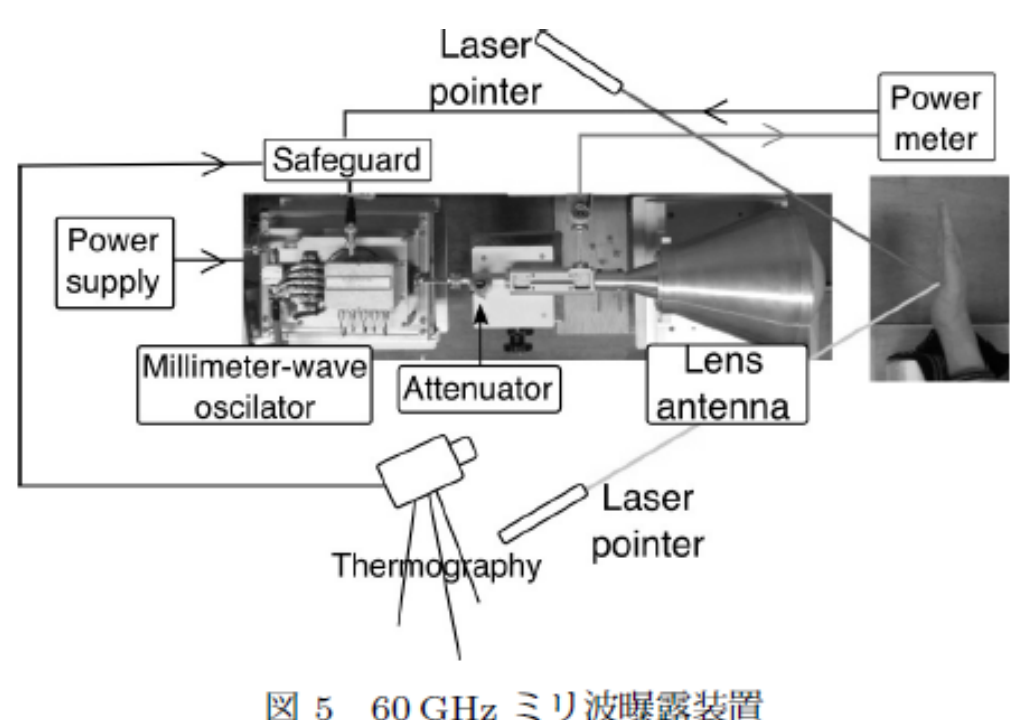


総務省委託研究(H27-H29) ミリ波ばく露時の温熱知 覚閾値に関する研究

• 福島県立医大:実験

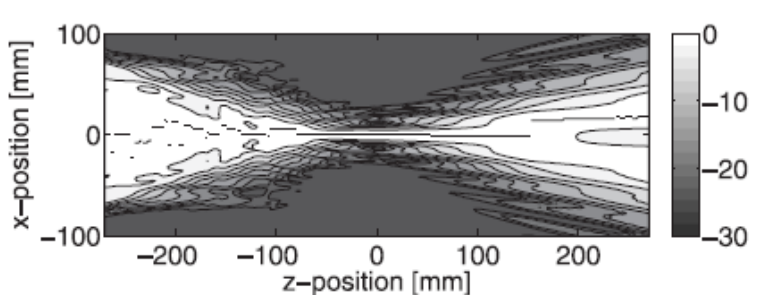
東工大:装置の開発

### 香西らの実験



- 周波数:60GHz
- ばく露部位:手のひら
- ばく露時間:10秒
- ばく露面積:
  - 0.34, 0.57, 1.99 cm<sup>2</sup>

#### 集束ビーム



香西将樹ほか、``60GHzミリ波集束ビーム曝露による掌の温熱感しきい値の測定''、 電子情報通信学会論文誌Vol.J93-B, No.10, pp.1456-1465, 2010.

### 50%知覚閾値の推定

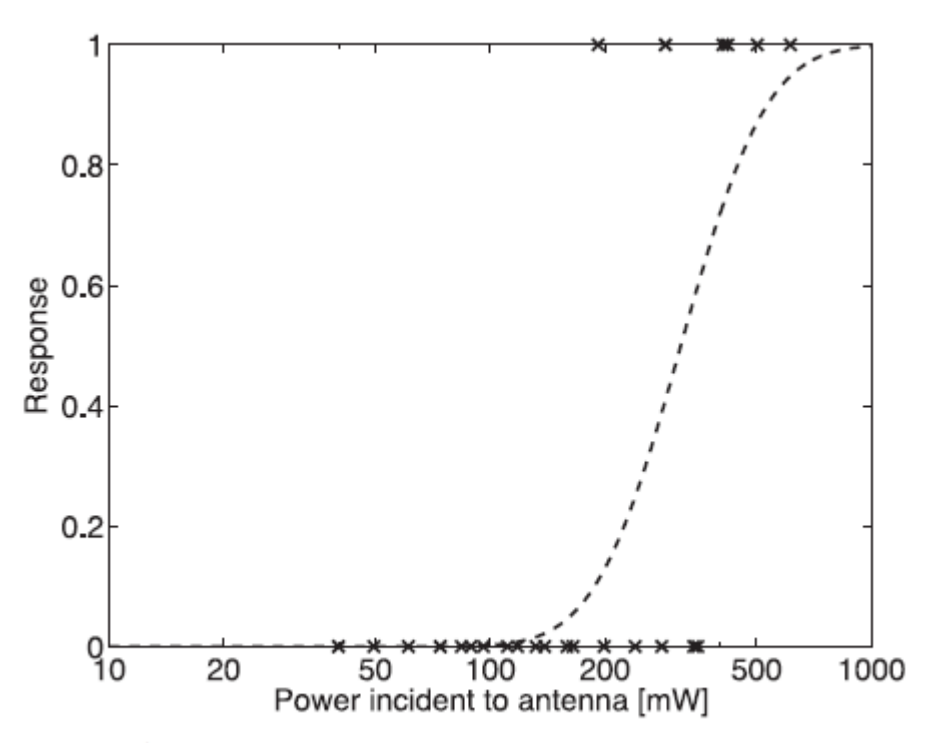


図 8 各入射電力に対する知覚の有無と心理測定関数の例

- 取得データは知覚の有無
- 累積正規分布で最尤推定
- 知覚確率50%を与える刺激の 大きさ

### 知覚閾値のばく露面積依存性

#### 最大電力密度

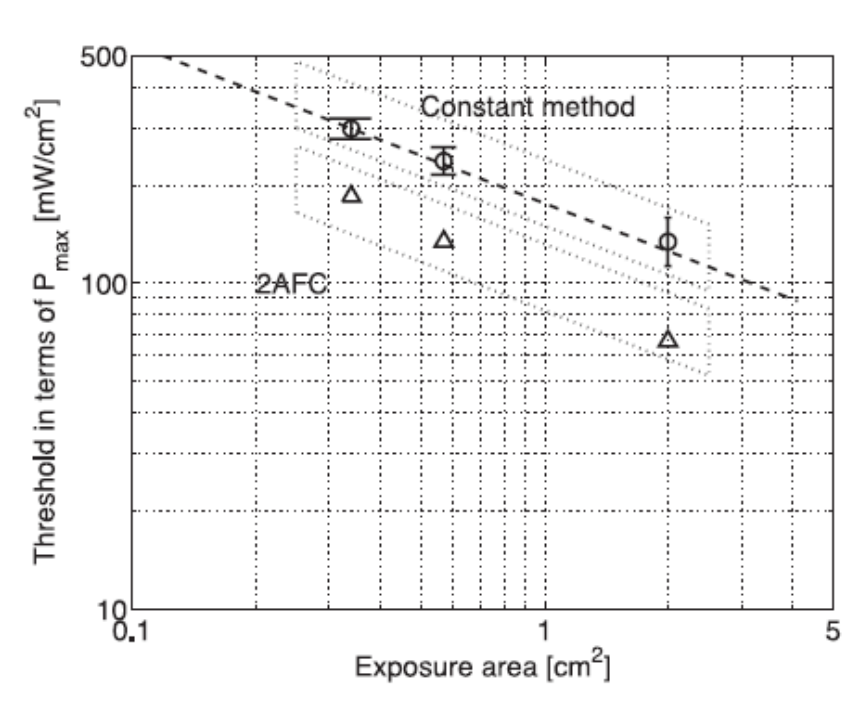


図 9 皮膚表面における最大入射電力密度を基準としたミ リ波曝露による温感しきい値の面積依存性

ばく露面積が大きいほど 知覚しやすい

#### 電力

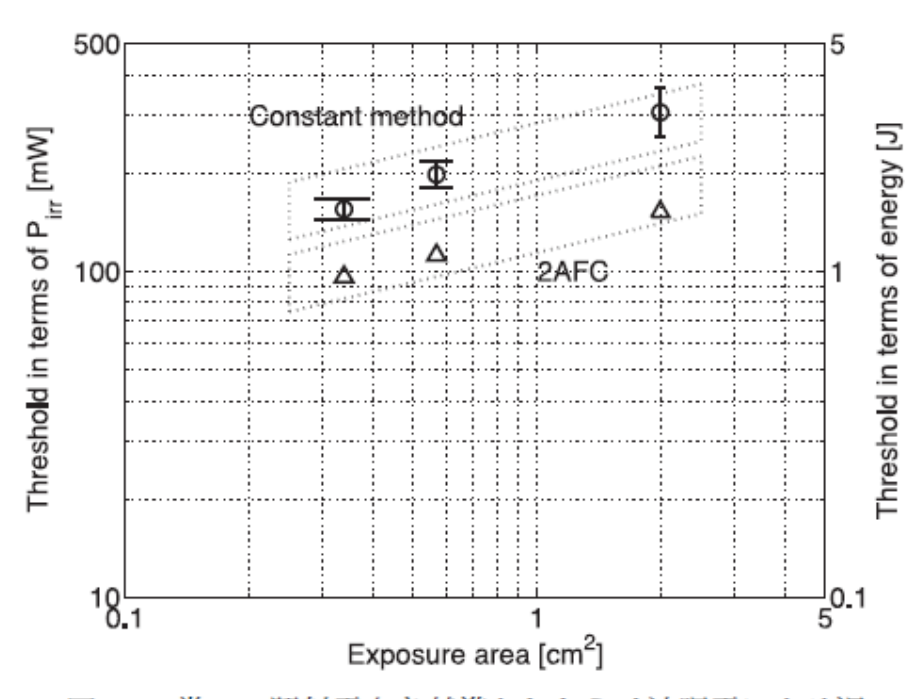


図 10 掌への照射電力を基準としたミリ波曝露による温 感しきい値の面積依存性

ばく露面積が小さいほど 知覚しやすい

### Blickらの結果との比較

#### 被験者数

exposure position	A	В	C
1st	20	20	2
2nd	13	3	13
Total	33	23	15

#### 回帰直線

$$P_{th}(S) = P_{th0} \left(\frac{S}{1 \text{cm}^2}\right)^{\nu}$$

$$P_{th0} = 176 \text{ mW/cm}^2, \nu = -0.49$$

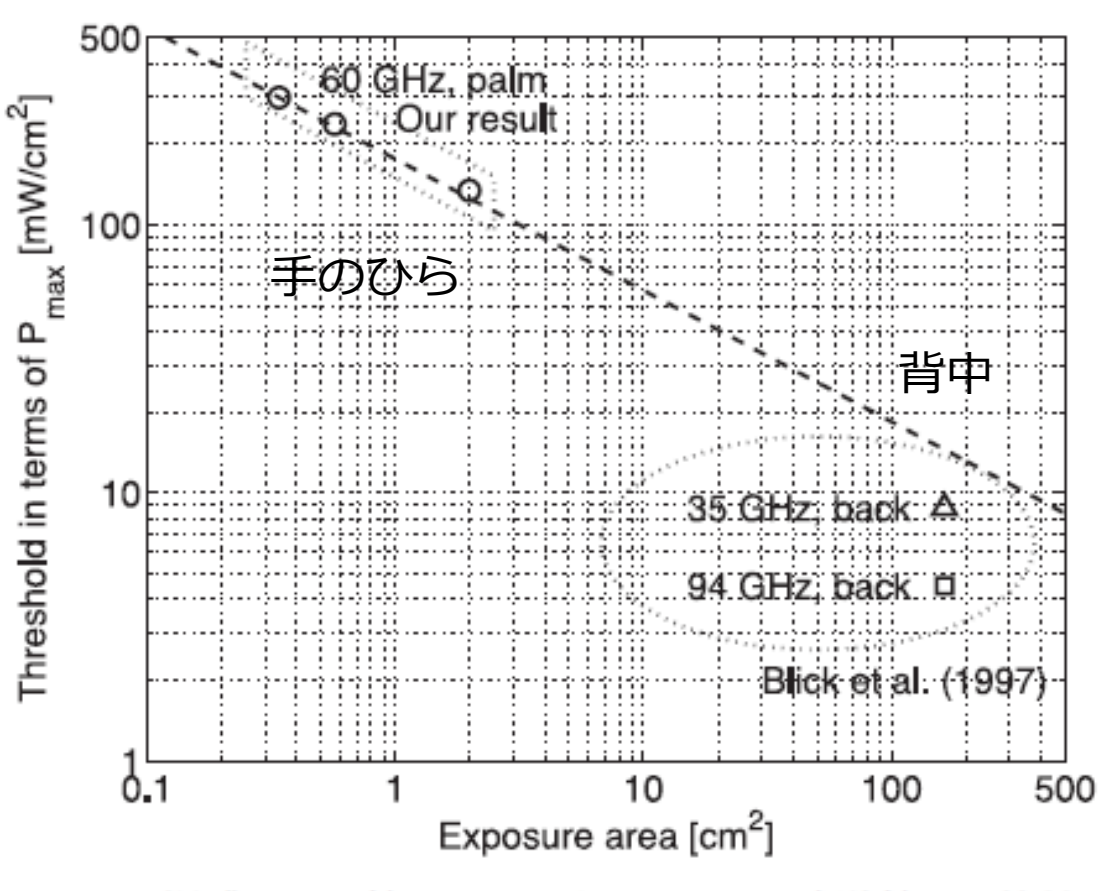


図 11 温感しきい値の Blick ら [7] による実験値との比較

[7] D.W. Blick, E.R. Adair, W.D. Hurt, C.J. Sherry, T.J. Walters, and J.H. Merritt, "Thresholds of microwaveevoked warmth sensations in human skin," Bioelectromagnetics, vol.18, no.6, pp.403–409, 1997.

### 温度上昇で表した知覚閾値

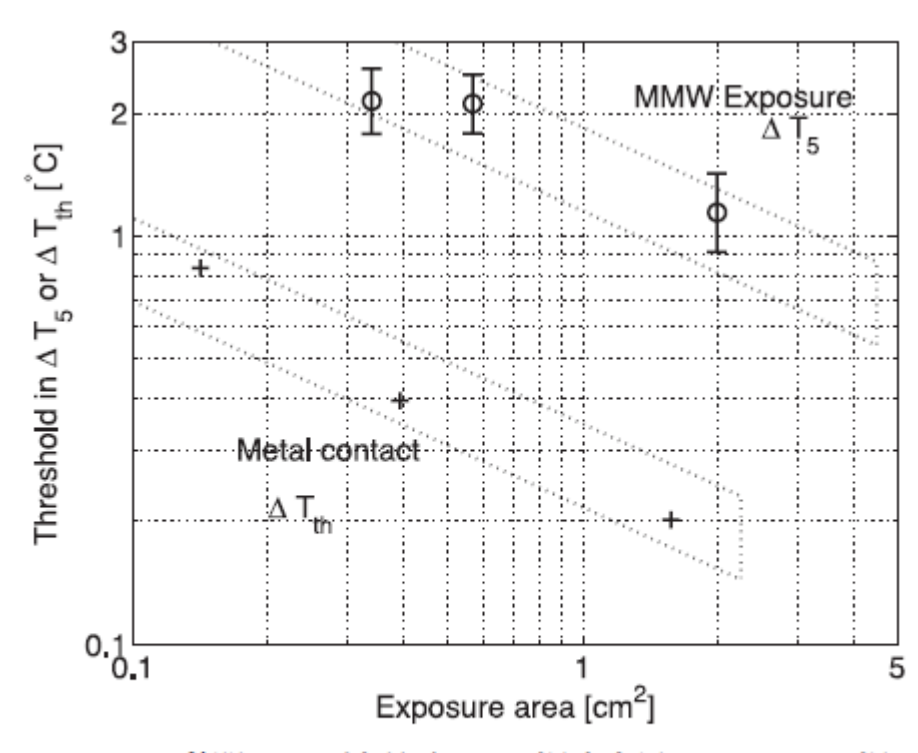


図 12 5 秒間のミリ波曝露による温度上昇  $\Delta T_5$  でみた温感しきい値の面積依存性及び金属接触によるしきい値  $\Delta T_{th}$  との比較

• 5秒間で1~2℃上昇すると知覚

### 総務省委託研究(H27~H29)

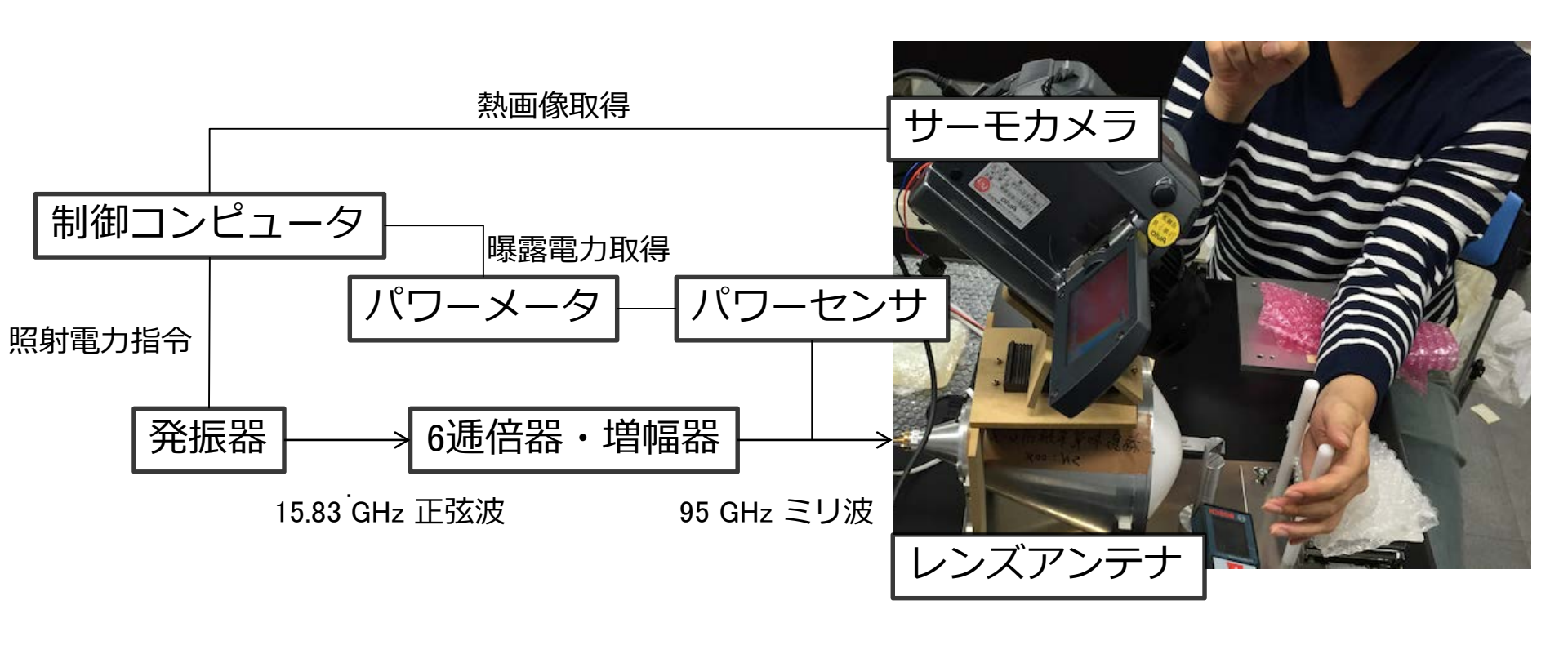
- 60GHz以外の周波数では?
- 10秒以外のばく露時間では?
- 年齢による差、性差は?



- 95GHz, 40GHzで実験
- 反応時間を取得
- より多くの被験者

### ミリ波ばく露実験 (95GHz)

#### ミリ波ばく露実験装置



- サーモカメラで手のひらの温度監視
- パワーメータでばく露電力監視

# 実験手順

ばく露位置 保持装置

一定電力のミリ波を被験者の 手のひらに照射

制限時間以内に被験者が温熱感を 知覚した場合スイッチを押す

試行を操り返す

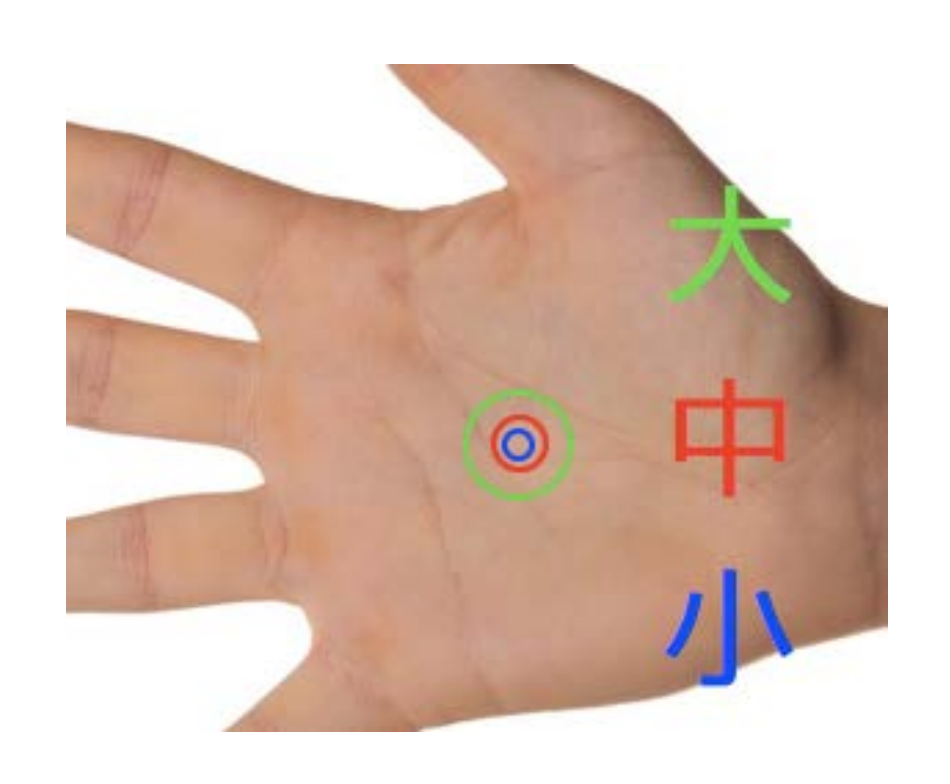
ばく露電力 P における ばく露開始からスイッチを押すまでの 反応時間を取得





知覚したときに押すスイッチ

### ばく露面積(95GHz)



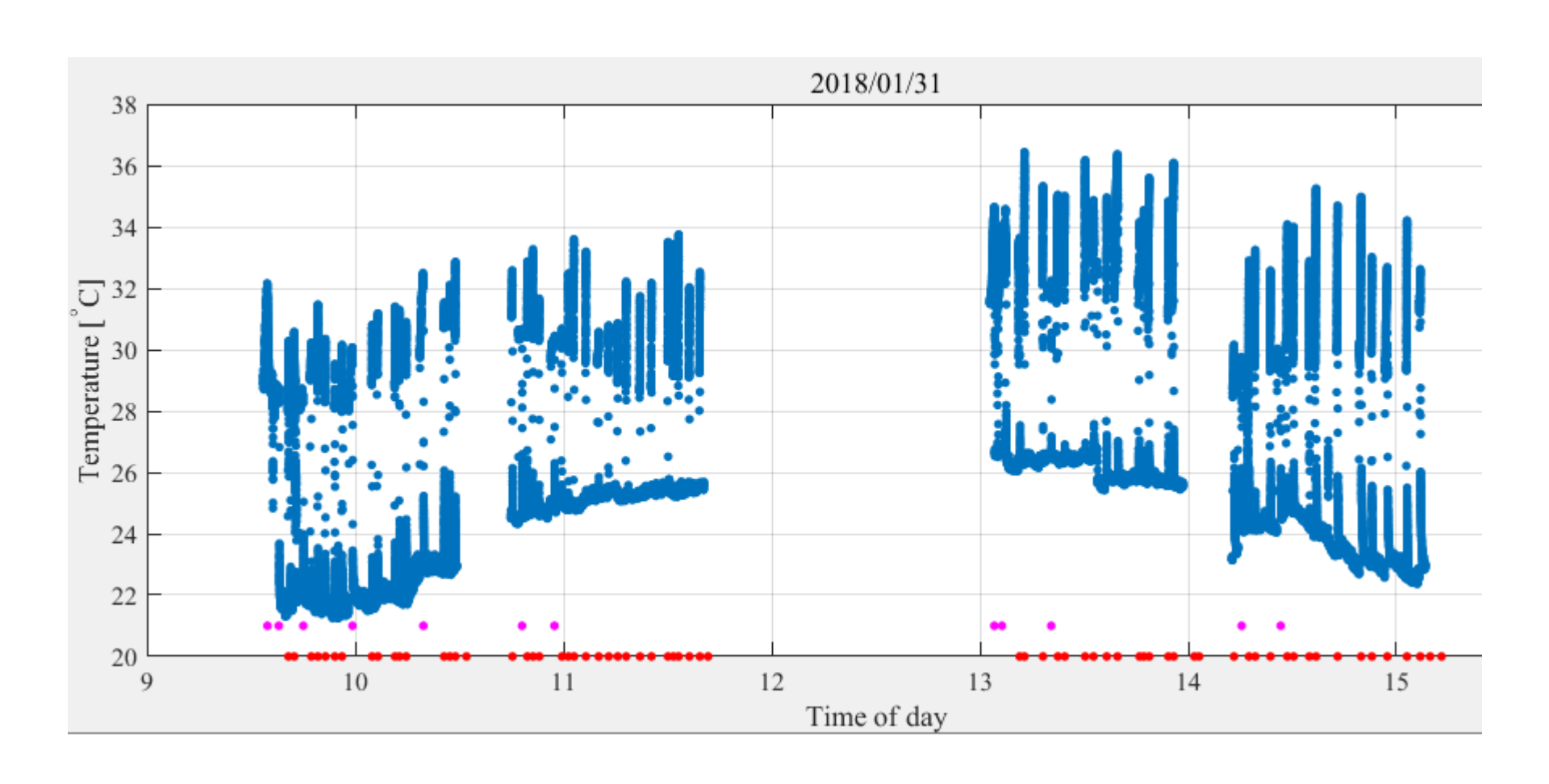
95GHzでは60GHzよりも 波長が短いため最小ばく 露面積は小さくなる

(ばく露面積の定義は 60GHzのときと同じ)

小:  $0.151 \text{ cm}^2 + 0.522 \text{ cm}^2 + 2.02 \text{ cm}^2$ 

(60GHz: 0.34, 0.57, 1.99 cm<sup>2</sup>)

# 取得データの例



### ばく露開始時の皮膚温度と知覚

ばく露開始時の表面温度  $T_{st}$ 

- ばく露ごと・個人差が大

温熱感知覚に影響するか?

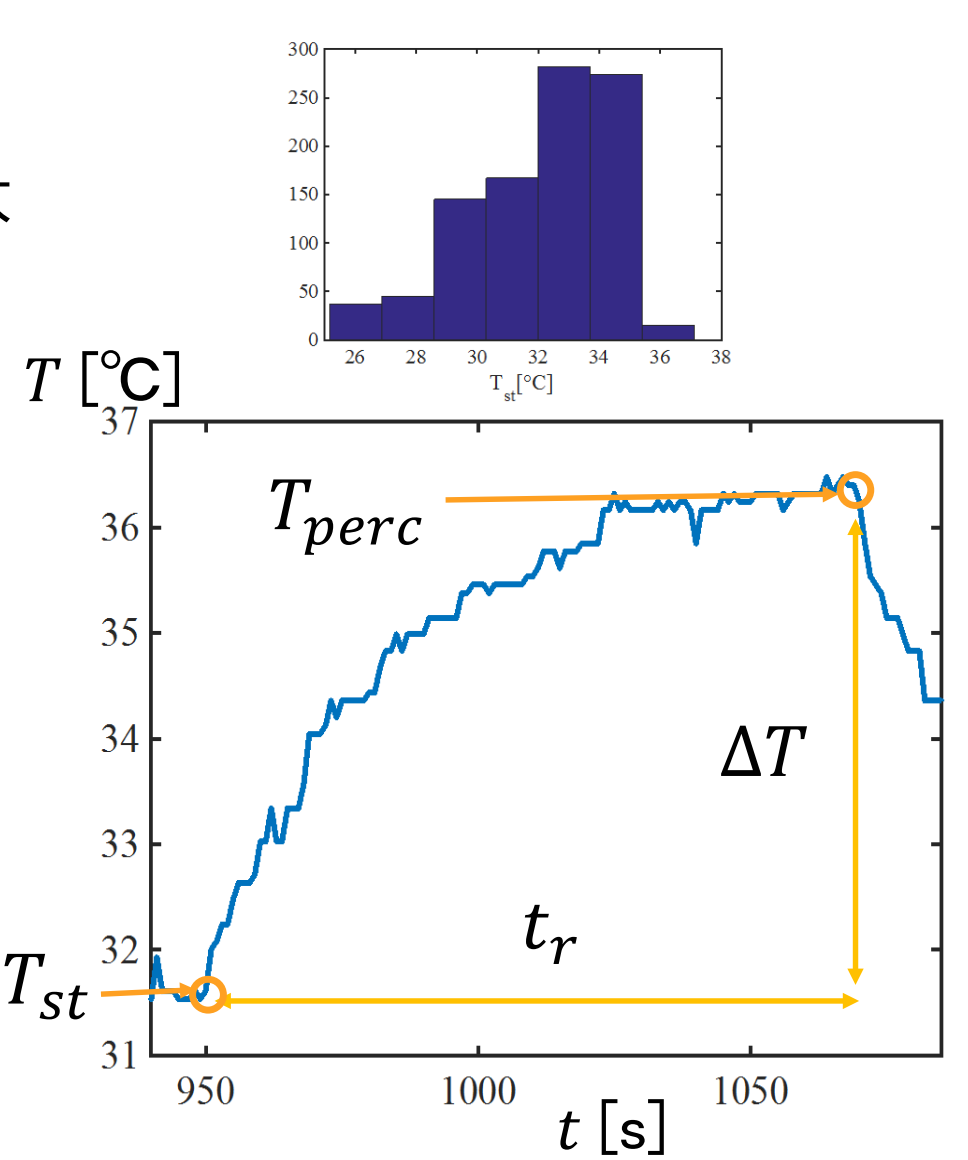
#### 皮膚表面温度と反応時間

ばく露開始時の温度: T<sub>st</sub>

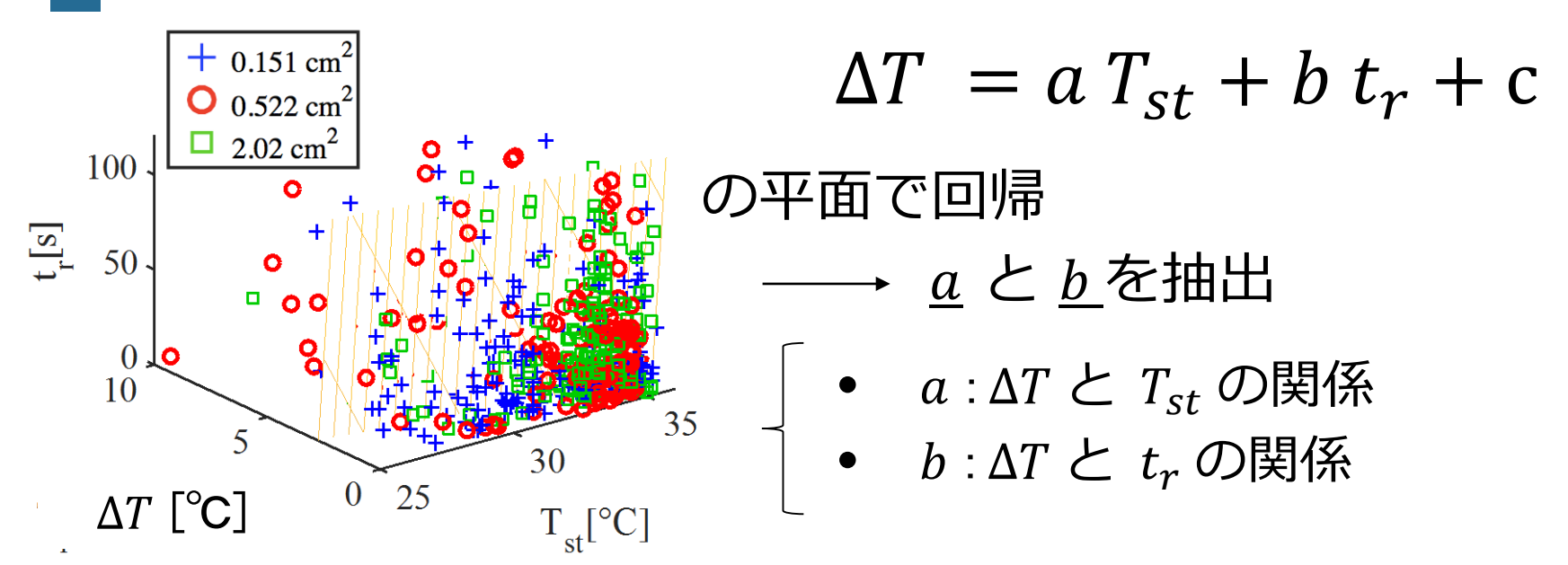
反応時の上昇温度 : ∆T

反応時間 : t<sub>r</sub>

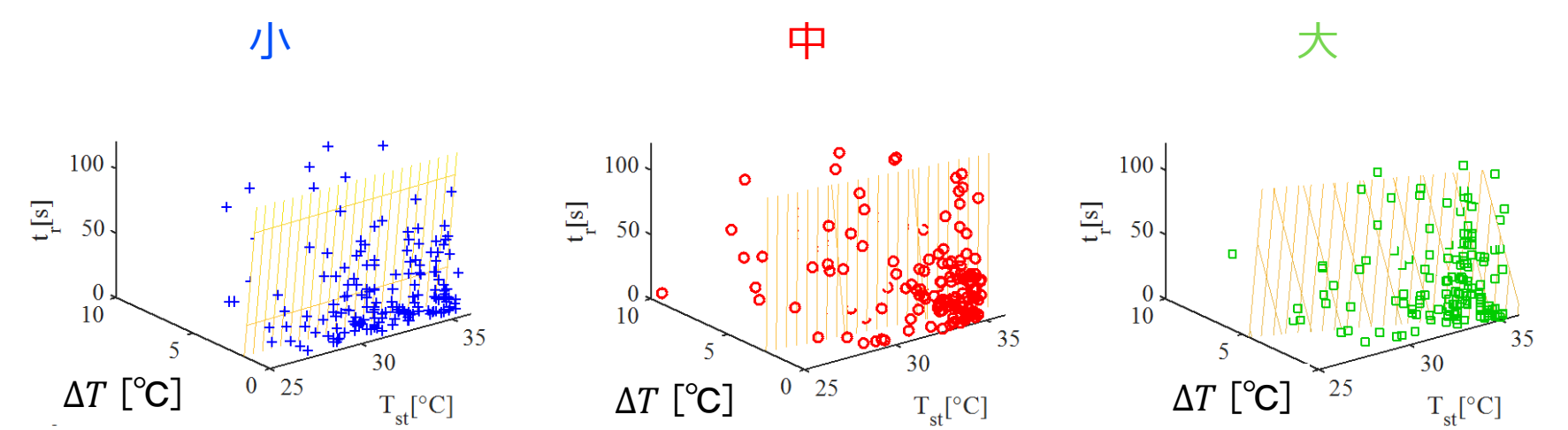
これらを 各ばく露試行で取得



### 平面回帰

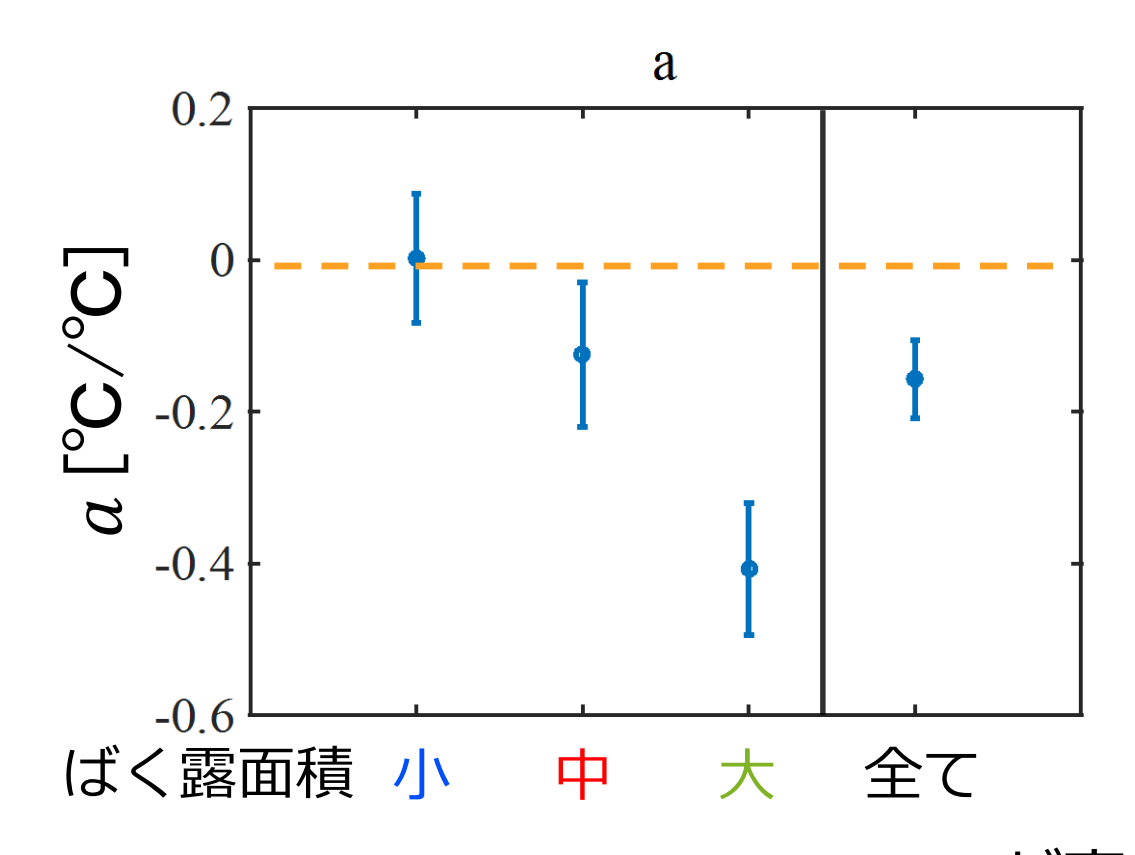


#### 3種類のばく露面積で平面回帰



### $a:\Delta T と T_{st}$ の関係

$$\Delta T = a T_{st} + b t_r + c$$



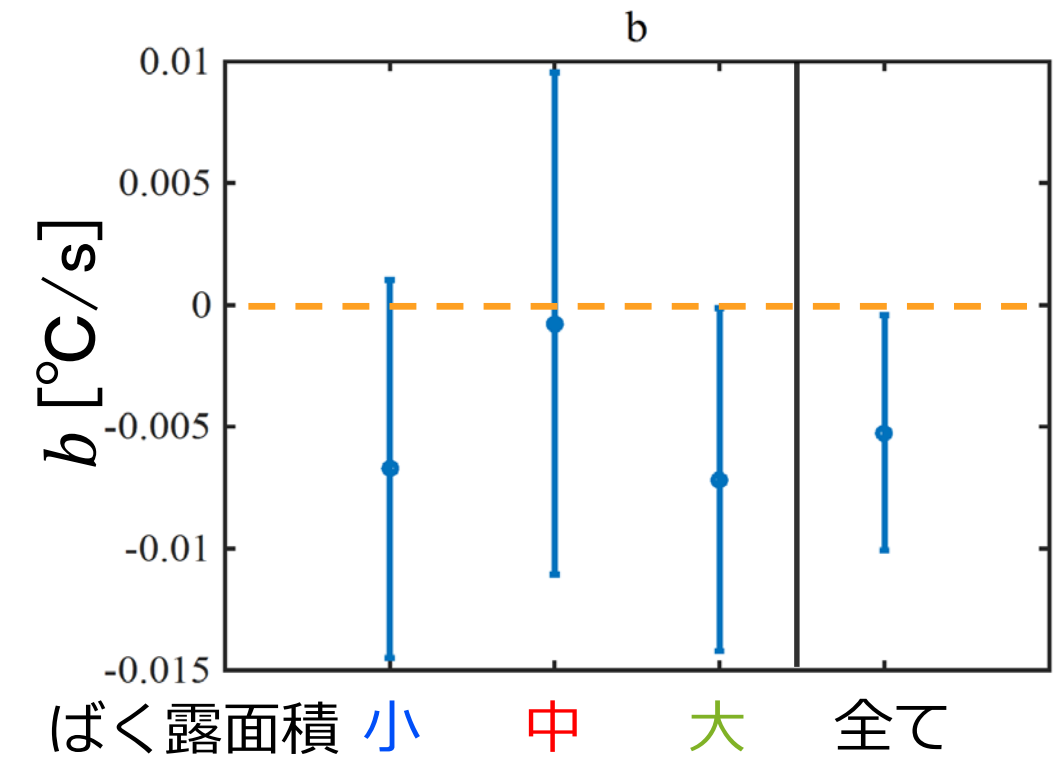
 $T_{st}$  が 10  $^{\circ}$ C 高いと  $\Delta T$  が 0  $\sim$  4  $^{\circ}$ C 下がる



 $T_{st}$  が高いほど 温度上昇に対して敏感

### 

$$\Delta T = a T_{st} + b t_r + c$$

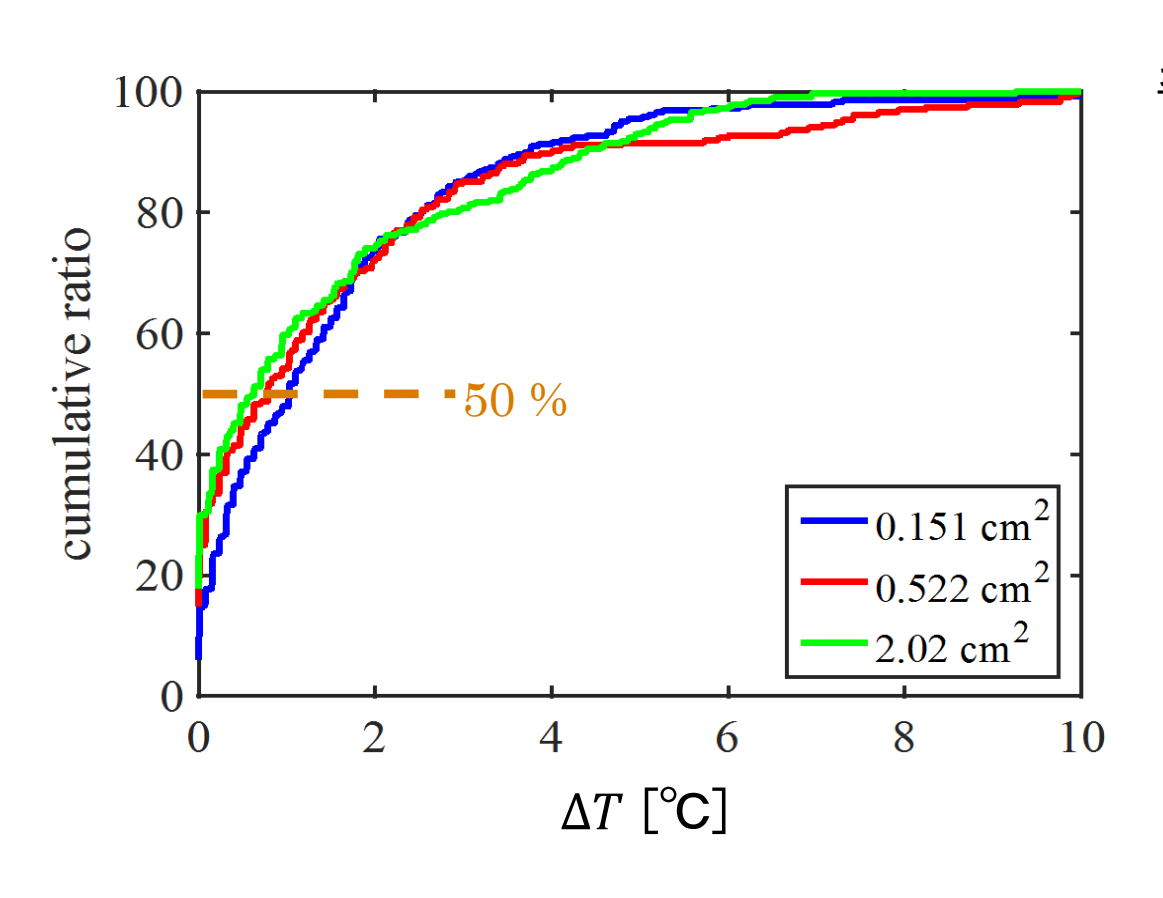


 $t_r$  が 1 s 増加あたり  $\Delta T$  が 約 0.005  $^{\circ}$ C とわずかに低下



 $\Delta T$  は反応時間  $t_r$  にほとんど依存しない

### 温度上昇と知覚



#### 累積知覚確率

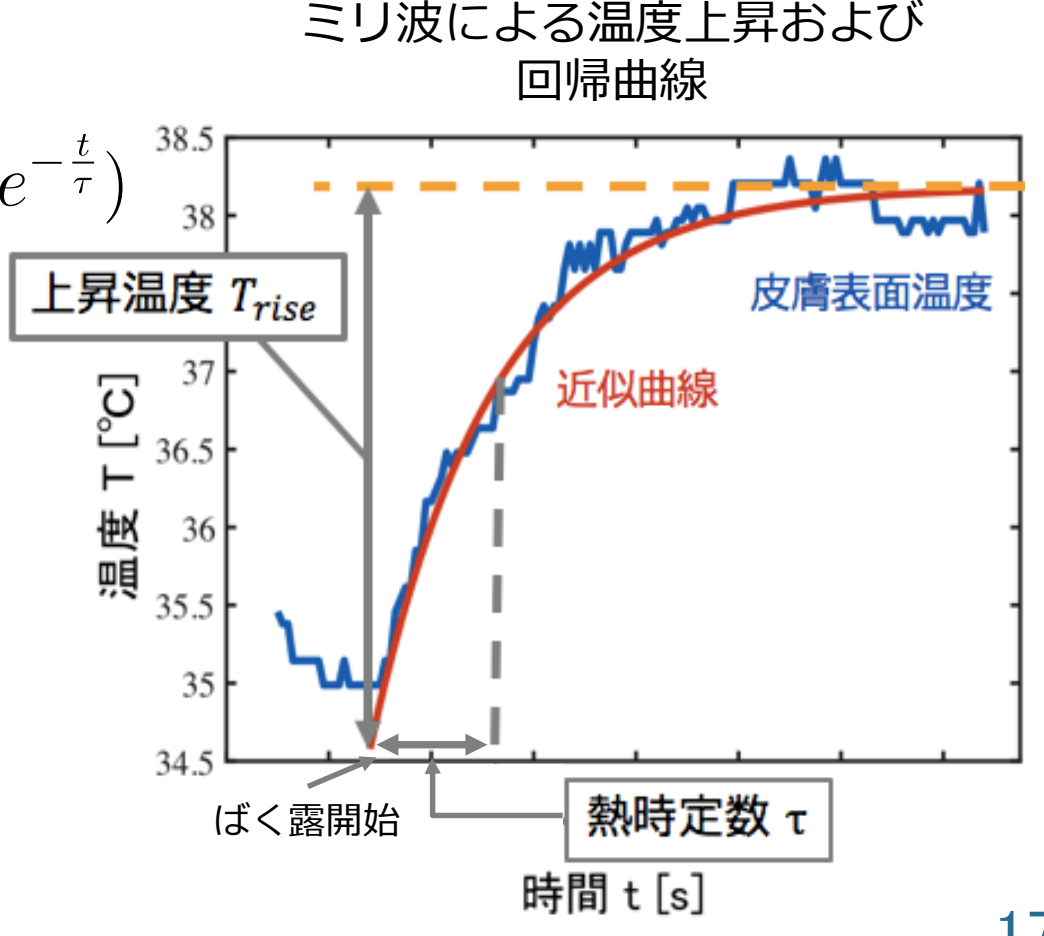
累積知覚確率 50 % となる ΔT は各ばく露面積で

### 温度変化の曲線回帰

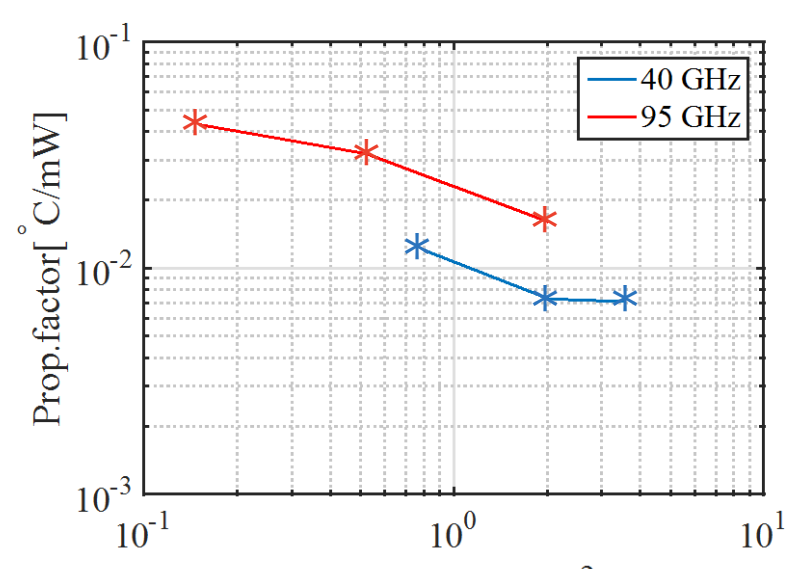
- ●各ばく露試行中の上昇温度を
  - 一次遅れ系で曲線回帰

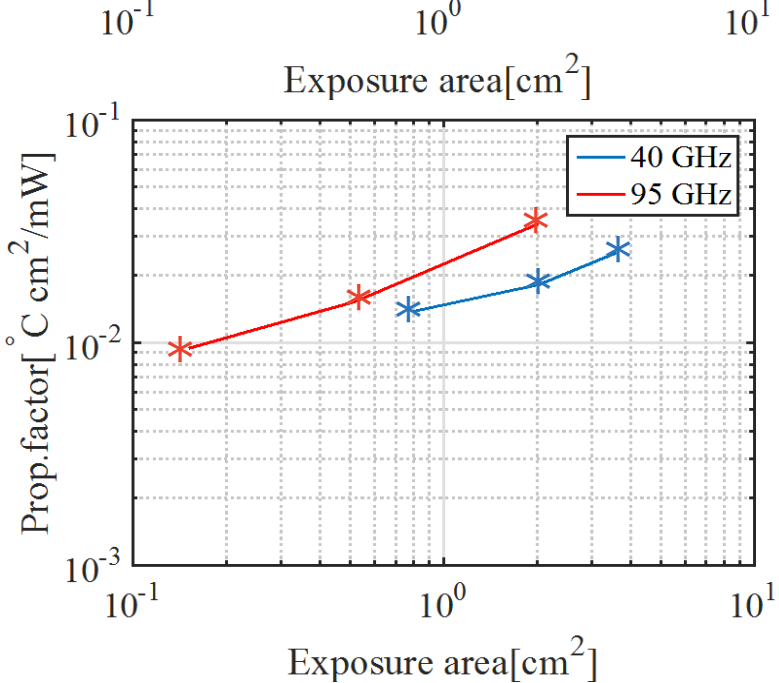
ばく露時間 
$$T(t)-T(0)=T_{rise}(1-e^{-\frac{t}{\tau}})$$
 上昇温度

- 二つのフィッティング パラメータを抽出
  - 上昇温度 Trise
    - 熱時定数 τ



### 比例係数の比較 (検討中)





#### 上昇温度 対 電力

$$T_{rise} = a P$$

左上がり。その解釈は、

ばく露面積:小

■ 電力が局所に集中することで最大温度が高くなる

#### 上昇温度 対 最大電力密度

$$T_{rise} = a S_{max}$$

右上がり。その解釈は、

ばく露面積:大

加熱領域が広がることで熱拡散による温度上昇抑制が減少

# 温度変化の曲線回帰の問題点

- ●抽出されるパラメータのばらつきが大
- 一次遅れモデルの当てはまりがよくない場合がある



- ●ばらつきの原因究明
- 熱解析にもとづくモデルの改良

## まとめ

- ミリ波集束ビームばく露実験の概要を述べた
- 60GHz実験(2010)、95GHz, 40GHz実験(H27~H29)
- 温熱知覚閾値および温度上昇について分析

#### 課題

- ●温熱知覚閾値の年齢差、性差の検討
- ばらつきの分析(個人差、手の動き、手の角度、など)
- 熱解析にもとづく温度変化モデルの改良